

Estimateur d'ordre réduit de la vitesse d'un quadrirotor.
Application à la détection de défaut des
accéléromètres.

GT UAV - Inter GdR MACS-Robotique Paris

Hugues RAFARALAHY

Hugues.Rafaralahy@uhp-nancy.fr

M. Boutayeb, H. Rafaralahy, E. Richard and M. Zasadzinski



Nancy-Université

Modèle du
quadrirotor

Position du
problème

Synthèse de
l'observateur :
estimation de la
vitesse linéaire

Simulations
numériques

Estimation
simultanée de la
vitesse et des
défauts de capteur

Simulations
numériques

1 Modèle du quadrirotor

2 Position du problème

3 Synthèse de l'observateur : estimation de la vitesse linéaire

4 Simulations numériques

5 Estimation simultanée de la vitesse et des défauts de capteur

6 Simulations numériques

Modèle du quadrirotor

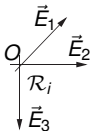
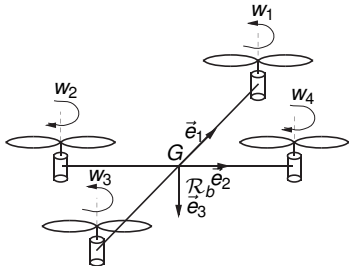
Position du problème

Synthèse de l'observateur : estimation de la vitesse linéaire

Simulations numériques

Estimation simultanée de la vitesse et des défauts de capteur

Simulations numériques



Modèle du quadrirotor

Position du problème

Synthèse de l'observateur : estimation de la vitesse linéaire

Simulations numériques

Estimation simultanée de la vitesse et des défauts de capteur

Simulations numériques

Angles de Cardan → **mesurés**

$$\begin{cases} \dot{\Phi} &= p + q \tan \theta \sin \Phi + r \tan \theta \cos \Phi \\ \dot{\theta} &= q \cos \Phi - r \sin \Phi \\ \dot{\psi} &= q \frac{\sin \Phi}{\cos \theta} + r \frac{\cos \Phi}{\cos \theta} \end{cases} \quad (1)$$

Vitesse angulaire → **mesurée**

$$\begin{cases} \dot{p} &= -\frac{I_{zz} - I_{yy}}{I_{xx}} qr + \frac{\tau_{\Phi}}{I_{xx}} \\ \dot{q} &= -\frac{I_{xx} - I_{zz}}{I_{yy}} pr + \frac{\tau_{\theta}}{I_{yy}} \\ \dot{r} &= -\frac{I_{yy} - I_{xx}}{I_{zz}} pq + \frac{\tau_{\psi}}{I_{zz}} \end{cases} \quad (2)$$

Vitesse linéaire → **non mesurée** → **accélération mesurée**

$$\begin{cases} \dot{u} &= -qw + rv - g \sin \theta \\ \dot{v} &= -ru + pw + g \sin \theta \cos \theta \\ \dot{w} &= -pv + qu + g \cos \theta \cos \theta - \frac{T}{m} \end{cases} \quad (3)$$

Modèle du
quadrirotor

Position du
problème

Synthèse de
l'observateur :
estimation de la
vitesse linéaire

Simulations
numériques

Estimation
simultanée de la
vitesse et des
défauts de capteur

Simulations
numériques

Les variables mesurées

- les angles de Cardan $\eta = (\Phi, \theta, \psi)^T$,
- la vitesse angulaire $\vec{\omega} = (p, q, r)^T$,
- l'accélération $(\dot{u}, \dot{v}, \dot{w})^T$

→ Les composantes de l'état des sous-systèmes (1) et (2) sont mesurées.

Position du problème

- **Problème 1** : estimer la vitesse $x = (u, v, w)^T$ en utilisant la dynamique de la vitesse (3) et les mesures de trois (observateur 1) ou deux (observateur 2) composantes de l'accélération (Problème initialement posé par Benzemrane *et al.*, ACC07).
- **Problème 2** : utiliser l'estimateur précédent pour détecter, isoler et estimer les défauts des accéléromètres.

Modèle du
quadrirotorPosition du
problème**Synthèse de
l'observateur :
estimation de la
vitesse linéaire**Simulations
numériquesEstimation
simultanée de la
vitesse et des
défauts de capteurSimulations
numériques

Prenant en compte les variables mesurées, le système (3) s'écrit :

Modèle réduit avec mesure des 3 accélérations

$$\begin{aligned}\dot{x}(t) &= A(t)x(t) + b(t) \\ y(t) &= \dot{x}(t)\end{aligned}\quad (4)$$

avec

$$A(t) = \begin{pmatrix} 0 & r & -q \\ -r & 0 & p \\ q & -p & 0 \end{pmatrix}$$

et

$$b(t) = \begin{pmatrix} -g \sin \theta \\ g \sin \Phi \cos \theta \\ g \cos \Phi \cos \theta - \frac{T}{m} \end{pmatrix}$$

Modèle du
quadrirotor

Position du
problème

**Synthèse de
l'observateur :
estimation de la
vitesse linéaire**

Simulations
numériques

Estimation
simultanée de la
vitesse et des
défauts de capteur

Simulations
numériques

Hypothèse 1

$\vec{\omega}(t)$, $\dot{\vec{\omega}}(t)$ et $\ddot{\vec{\omega}}(t)$ sont bornés.

Remark

Si l'hypothèse 1 est vérifiée \implies les matrices A , \dot{A} et \ddot{A} sont bornées. \square

Hypothèse 2

Au moins une composante du vecteur $\vec{\omega} \wedge \dot{\vec{\omega}}$ ne tend pas vers zéro asymptotiquement.

Modèle du
quadriratorPosition du
problème**Synthèse de
l'observateur :
estimation de la
vitesse linéaire**Simulations
numériquesEstimation
simultanée de la
vitesse et des
défauts de capteurSimulations
numériques

Considérons l'observateur suivant

Observateur 1

$$\dot{\hat{x}}(t) = N(t)\hat{x}(t) + M(t)b(t) + K(t)y(t) \quad (5)$$

Proposition 1

Si les hypothèses 1 et 2 sont vérifiées, et si les matrices $N(t)$, $M(t)$ et $K(t)$ sont choisies telles que

$$N(t) = -\gamma A^T(t)A(t) \quad (6a)$$

$$M(t) = -\gamma A^T(t) \quad (6b)$$

$$K(t) = I + \gamma A^T(t) \quad (6c)$$

où γ est un paramètre de synthèse strictement positif, alors l'origine de l'erreur d'observation est asymptotiquement stable. \square

Modèle du
quadrirotorPosition du
problème**Synthèse de
l'observateur :
estimation de la
vitesse linéaire**Simulations
numériquesEstimation
simultanée de la
vitesse et des
défauts de capteurSimulations
numériques

Esquisse de démonstration. La dynamique de l'erreur d'observation $\epsilon = x - \hat{x}$ s'écrit

$$\dot{\epsilon} = N\epsilon + (A - N - KA)x + (I - M - K)b \quad (7)$$

Les conditions de *non biais*

$$A - N - KA = 0$$

$$I - M - K = 0$$

sont satisfaites si les matrices $N(t)$, $M(t)$ et $K(t)$ sont choisies comme dans (6) \implies

Dynamique de l'erreur d'estimation

$$\dot{\epsilon}(t) = -\gamma A^T(t)A(t)\epsilon(t) \quad (8)$$

Modèle du
quadrirotor

Position du
problème

**Synthèse de
l'observateur :
estimation de la
vitesse linéaire**

Simulations
numériques

Estimation
simultanée de la
vitesse et des
défauts de capteur

Simulations
numériques

Fonction de Lyapunov candidate

$$V(\epsilon) = \epsilon^T \epsilon$$

Dérivée de $V(\epsilon)$ le long de (8) \implies

$$\dot{V}(\epsilon) = -2\gamma \|A\epsilon\|^2 \leq 0 \quad (9)$$

Stabilité asymptotique de l'erreur d'observation

Utiliser le lemme de Barbalat 2 fois :

- 1 $\dot{V}(\epsilon) \rightarrow 0$
- 2 $\epsilon \rightarrow 0$

Modèle du
quadrirotorPosition du
problème**Synthèse de
l'observateur :
estimation de la
vitesse linéaire**Simulations
numériquesEstimation
simultanée de la
vitesse et des
défauts de capteurSimulations
numériques

$\dot{V}(\epsilon) \leq 0 \implies V(\epsilon) \rightarrow l$ pour $t \rightarrow \infty$ où l est une valeur finie.
 $\implies \epsilon(t)$ borné.

Dérivée $\dot{V}(\epsilon)$ le long de (8)

$$\ddot{V}(\epsilon) = 4\gamma^2 \epsilon^\top A^\top A A^\top A \epsilon - 4\gamma \epsilon^\top \dot{A}^\top A \epsilon.$$

Hypothèse 1 et $\epsilon(t)$ bornée $\implies \ddot{V}(\epsilon)$ bornée
 $\implies \dot{V}(\epsilon)$ uniformément continue.

Lemme de Barbalat

$$\begin{array}{lll} \ddot{V}(\epsilon) & \text{bornée} & \implies \dot{V}(\epsilon) \rightarrow 0 \\ \dot{V}(\epsilon) = -2\gamma \|A\epsilon\|^2 \leq 0 & (9) & \implies A(t)\epsilon(t) \rightarrow 0 \end{array}$$

Modèle du
quadrirotorPosition du
problème**Synthèse de
l'observateur :
estimation de la
vitesse linéaire**Simulations
numériquesEstimation
simultanée de la
vitesse et des
défauts de capteurSimulations
numériquesDérivée de $\varphi(t) = A(t)\epsilon(t)$:

$$\dot{\varphi}(t) = (\dot{A} - \gamma AA^T A)\epsilon$$

$$\ddot{\varphi}(t) = (\ddot{A} - 2\gamma \dot{A}A^T A - \gamma AA^T \dot{A} - \gamma AA^T \dot{A})\epsilon.$$

$$\begin{aligned} A(t), \dot{A}(t), \ddot{A}(t), \epsilon(t) \text{ bornée} &\implies \ddot{\varphi}(t) \text{ bornée} \\ &\implies \dot{\varphi}(t) \text{ uniformément continue.} \end{aligned}$$

Lemme de Barbalat

$$\begin{aligned} \varphi(t) \rightarrow 0 \text{ et } \dot{\varphi}(t) \text{ uniformément continues} &\implies \\ \dot{\varphi}(t) = (\dot{A} - \gamma AA^T A)\epsilon &\rightarrow 0. \end{aligned}$$

$$\text{Comme } \dot{\varphi}(t) \rightarrow 0 \text{ et } A\epsilon \rightarrow 0 \implies \dot{A}\epsilon \rightarrow 0.$$

Modèle du
quadrirotorPosition du
problème**Synthèse de
l'observateur :
estimation de la
vitesse linéaire**Simulations
numériquesEstimation
simultanée de la
vitesse et des
défauts de capteurSimulations
numériquesRéécriture des deux conditions $A\epsilon \rightarrow 0$ et $\dot{A}\epsilon \rightarrow 0$

$$\begin{cases} r(t)\epsilon_2(t) - q(t)\epsilon_3(t) & \rightarrow 0 \\ -r(t)\epsilon_1(t) + p(t)\epsilon_3(t) & \rightarrow 0 \\ q(t)\epsilon_1(t) - p(t)\epsilon_2(t) & \rightarrow 0 \end{cases} \quad (10)$$

$$\begin{cases} \dot{r}(t)\epsilon_2(t) - \dot{q}(t)\epsilon_3(t) & \rightarrow 0 \\ -\dot{r}(t)\epsilon_1(t) + \dot{p}(t)\epsilon_3(t) & \rightarrow 0 \\ \dot{q}(t)\epsilon_1(t) - \dot{p}(t)\epsilon_2(t) & \rightarrow 0 \end{cases} \quad (11)$$

- Relations (10) et (11) $\implies (q(t)\dot{r}(t) - \dot{q}(t)r(t))\epsilon_3(t) \rightarrow 0$.
- Hypothèse 2 : $\vec{\omega} \wedge \dot{\vec{\omega}} \neq 0 \implies q(t)\dot{r}(t) - \dot{q}(t)r(t) \neq 0 \implies \epsilon_3 \rightarrow 0$.
- $\epsilon_3(t) \rightarrow 0$ et relation (10) $\implies \epsilon_1(t) \rightarrow 0$ et $\epsilon_2(t) \rightarrow 0$.
- Le même raisonnement peut être utilisé pour les autres composantes du vecteur $\vec{\omega} \wedge \dot{\vec{\omega}} \implies$ stabilité asymptotique de l'erreur d'observation. □

Modèle du
quadrirotorPosition du
problème**Synthèse de
l'observateur :
estimation de la
vitesse linéaire**Simulations
numériquesEstimation
simultanée de la
vitesse et des
défauts de capteurSimulations
numériques

Modèle

$$\begin{aligned}\dot{x}(t) &= A(t)x(t) + b(t) \\ y(t) &= C\dot{x}(t)\end{aligned}\quad (12)$$

$$C = \begin{pmatrix} 1 & 0 & 0 \\ 0 & 1 & 0 \end{pmatrix}\quad (13)$$

Observateur 2

$$\dot{\hat{x}}(t) = N(t)\hat{x}(t) + M(t)b(t) + K(t)y(t)\quad (14)$$

$$L(t) = \begin{pmatrix} 1 & 0 \\ 0 & 1 \\ -p/r & -q/r \end{pmatrix}\quad (15a)$$

$$K(t) = L + \gamma A^T(t)C^T\quad (15b)$$

$$N(t) = A(t) - K(t)CA(t)\quad (15c)$$

$$M(t) = I - K(t)C\quad (15d)$$

Modèle du
quadrirotor

Position du
problème

Synthèse de
l'observateur :
estimation de la
vitesse linéaire

**Simulations
numériques**

Estimation
simultanée de la
vitesse et des
défauts de capteur

Simulations
numériques

Paramètres du quadrirotor (Benzemrane, Santossuosso, Damm, ACC07) :

- $m = 2.5 \text{ kg}$,
- $I_{xx} = 224931 \cdot 10^{-7} \text{ kg.m}^2$,
- $I_{yy} = 222611 \cdot 10^{-7} \text{ kg.m}^2$
- $I_{zz} = 325130 \cdot 10^{-7} \text{ kg.m}^2$.

Les figures suivantes représentent les erreurs d'observation ϵ_i (ième composante de ϵ) pour différents cas

- cas 1 : Observateur 1, bruit Gaussien sur les mesures (écart type : 1, moyenne : 0) (figures 1 à 3)
- cas 2 : Observateur 2, bruit Gaussien sur les mesures (écart type : 1, moyenne : 0) (figures 4 à 6)

Modèle du
quadrirotor

Position du
problème

Synthèse de
l'observateur :
estimation de la
vitesse linéaire

**Simulations
numériques**

Estimation
simultanée de la
vitesse et des
défauts de capteur

Simulations
numériques

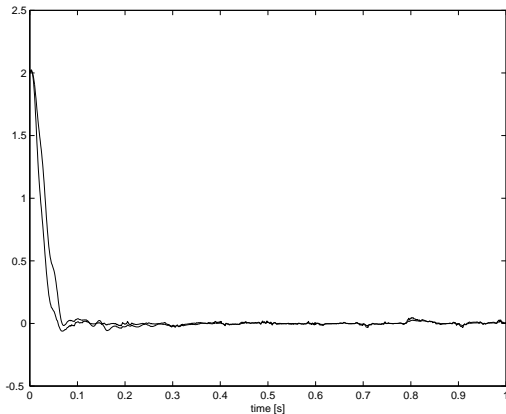


FIG.: 1 : Erreur d'observation $\varepsilon_1(t)$ avec $\gamma = 100$ (dynamique rapide) et $\gamma = 50$.

Modèle du
quadrirotor

Position du
problème

Synthèse de
l'observateur :
estimation de la
vitesse linéaire

**Simulations
numériques**

Estimation
simultanée de la
vitesse et des
défauts de capteur

Simulations
numériques

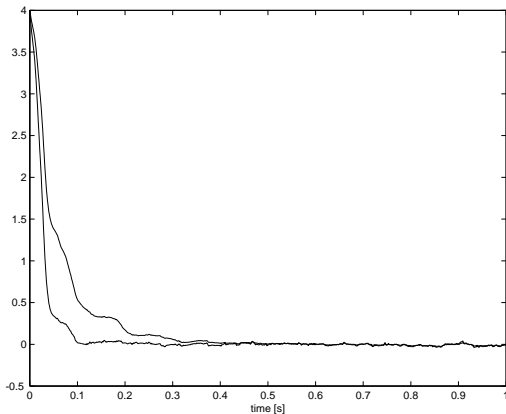


FIG.: 2 : Erreur d'observation $\varepsilon_2(t)$ avec $\gamma = 100$ (dynamique rapide) et $\gamma = 50$.

Modèle du
quadrirotor

Position du
problème

Synthèse de
l'observateur :
estimation de la
vitesse linéaire

**Simulations
numériques**

Estimation
simultanée de la
vitesse et des
défauts de capteur

Simulations
numériques

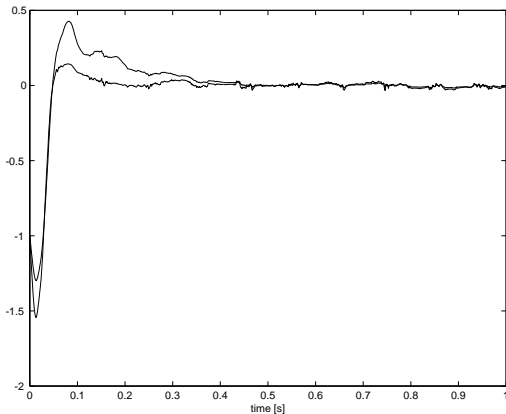


FIG.: 3 : Erreur d'observation $\varepsilon_3(t)$ avec $\gamma = 100$ (dynamique rapide) et $\gamma = 50$.

Modèle du
quadrirotor

Position du
problème

Synthèse de
l'observateur :
estimation de la
vitesse linéaire

**Simulations
numériques**

Estimation
simultanée de la
vitesse et des
défauts de capteur

Simulations
numériques

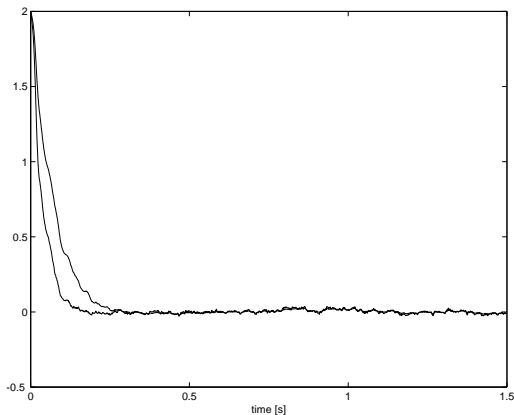


FIG.: 4 : Erreur d'observation $\varepsilon_1(t)$ avec $\gamma = 100$ (dynamique rapide) et $\gamma = 50$.

Modèle du
quadrirotor

Position du
problème

Synthèse de
l'observateur :
estimation de la
vitesse linéaire

**Simulations
numériques**

Estimation
simultanée de la
vitesse et des
défauts de capteur

Simulations
numériques

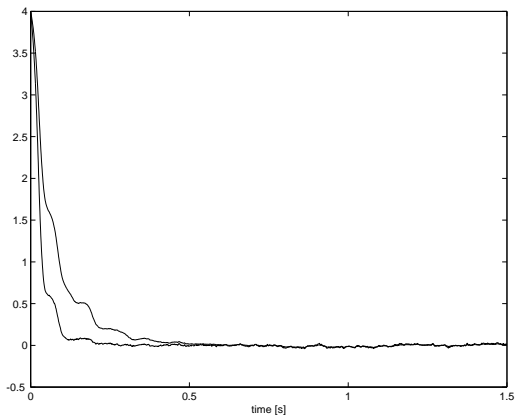


FIG.: 5 : Erreur d'observation $\varepsilon_2(t)$ avec $\gamma = 100$ (dynamique rapide) et $\gamma = 50$.

Modèle du
quadrirotor

Position du
problème

Synthèse de
l'observateur :
estimation de la
vitesse linéaire

**Simulations
numériques**

Estimation
simultanée de la
vitesse et des
défauts de capteur

Simulations
numériques

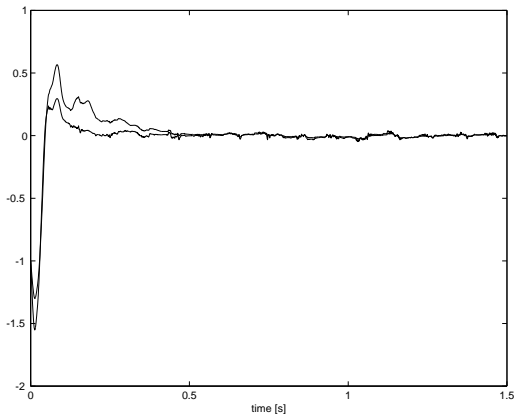


FIG.: 6 : Erreur d'observation $\varepsilon_3(t)$ avec $\gamma = 100$ (dynamique rapide) et $\gamma = 50$.

Modèle du quadricopter

Position du problème

Synthèse de l'observateur : estimation de la vitesse linéaire

Simulations numériques

Estimation simultanée de la vitesse et des défauts de capteur

Simulations numériques

Modèle d'état

Soit $x = (u, v, w)^T$ la vitesse linéaire à estimer et $f(t)$ le vecteur des défauts de capteur

$$\begin{aligned}\dot{x}(t) &= A(t)x(t) + b(t) \\ y(t) &= \dot{x}(t) + f(t)\end{aligned}\quad (16)$$

$$A(t) = \begin{pmatrix} 0 & r & -q \\ -r & 0 & p \\ q & -p & 0 \end{pmatrix} \quad b(t) = \begin{pmatrix} -g \sin \theta \\ g \sin \Phi \cos \theta \\ g \cos \Phi \cos \theta - \frac{T}{m} \end{pmatrix}$$

- Les défauts $f(t) = [f_1(t) \quad f_2(t) \quad f_3(t)]^T$ considérés sont temps variant,
- et incluent les dérives, les variations de gain ou les biais de capteurs.

Estimation de la vitesse, génération de résidus et estimation des défauts (OGR)

Il s'agit de proposer une banque de 3 Observateurs-Générateurs de Résidus (OGR) de la forme (pour $i = 1, 2, 3$)

$i^{\text{ème}}$ OGR

$$(\mathcal{O}_i) \begin{cases} \dot{\hat{x}}^i(t) &= N_i(t)\hat{x}^i(t) + M_i(t)b(t) + K_i(t)Y^i(t) \\ \rho^i(t) &= Q_i(t)\dot{\hat{x}}^i(t) + P_i(t)Y^i(t) \\ \hat{f}_i(t) &= \bar{Y}^i(t) - \bar{C}_i(t)\hat{x}^i(t) \end{cases} \quad (17)$$

$$Y^i(t) = C_i y(t) = C_i \dot{x} + \bar{f}^i(t)$$

$$\bar{Y}^i(t) = \bar{C}_i y(t) = \bar{C}_i \dot{x} + f_i(t)$$

$$\bar{f}^1(t) = \begin{bmatrix} f_2(t) \\ f_3(t) \end{bmatrix}, \bar{f}^2(t) = \begin{bmatrix} f_1(t) \\ f_3(t) \end{bmatrix} \text{ et } \bar{f}^3(t) = \begin{bmatrix} f_1(t) \\ f_2(t) \end{bmatrix}$$

$$C_1 = \begin{bmatrix} 0 & 1 & 0 \\ 0 & 0 & 1 \end{bmatrix} \quad C_2 = \begin{bmatrix} 1 & 0 & 0 \\ 0 & 0 & 1 \end{bmatrix} \quad C_3 = \begin{bmatrix} 1 & 0 & 0 \\ 0 & 1 & 0 \end{bmatrix}$$

$$\bar{C}_1 = \begin{bmatrix} 1 & 0 & 0 \end{bmatrix} \quad \bar{C}_2 = \begin{bmatrix} 0 & 1 & 0 \end{bmatrix} \quad \bar{C}_3 = \begin{bmatrix} 0 & 0 & 1 \end{bmatrix}$$

où $\hat{x}^i(t)$, $\hat{f}_i(t)$ sont respectivement les estimations de la vitesse $x(t)$ et de la composante $f_i(t)$ du défaut et $\rho^i(t)$ le $i^{\text{ème}}$ vecteur des résidus.

Modèle du
quadrirotor

Position du
problème

Synthèse de
l'observateur :
estimation de la
vitesse linéaire

Simulations
numériques

**Estimation
simultanée de la
vitesse et des
défauts de capteur**

Simulations
numériques

- 1 Les deux premières composantes mesurées de l'accélération $Y^i(t)$ sont utilisées pour l'estimation de la vitesse et la génération des résidus (utilisation de l'observateur d'ordre réduit précédent),
 - 2 la mesure de la troisième composante de l'accélération $\bar{Y}^i(t)$ est utilisée pour reconstruire le défaut de capteur.
- Si les capteurs mesurant les accélérations $Y^i(t)$ sont sans défaut,
 - ⇒ l'erreur d'estimation est asymptotiquement stable,
 - ⇒ les résidus correspondant sont nuls,
 - ⇒ l'erreur d'estimation du défaut $f_i(t)$ est asymptotiquement stable.
 - dans le cas où un ou deux capteurs mesurant $Y^i(t)$ est en défaut,
 - ⇒ les résidus correspondant à cet OGR sont différents de zéro,
 - ⇒ les erreurs d'estimation de l'état et des défauts fournies par cet OGR ne sont pas asymptotiquement stables.
 - ⇒ peut détecter et estimer la vitesse et les défauts de capteur si au plus un capteur en défaut,
 - ⇒ si plusieurs capteurs en défaut, peut seulement détecter la présence des défauts.

Modèle du
quadrirotor

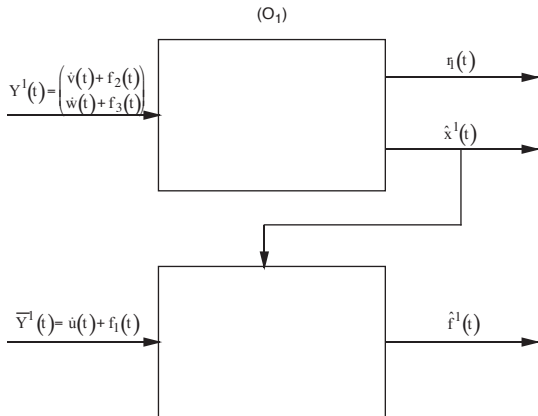
Position du
problème

Synthèse de
l'observateur :
estimation de la
vitesse linéaire

Simulations
numériques

**Estimation
simultanée de la
vitesse et des
défauts de capteur**

Simulations
numériques



Modèle du
quadrirotorPosition du
problèmeSynthèse de
l'observateur :
estimation de la
vitesse linéaireSimulations
numériques**Estimation
simultanée de la
vitesse et des
défauts de capteur**Simulations
numériques

Proposition 2

Supposons que les hypothèses 1 et 2 sont vérifiées et si les matrices $N_i(t)$, $M_i(t)$, $K_i(t)$, Q_i et P_i sont choisies telles que

$$K_i(t) = L_i + \gamma_i A^T(t) C_i^T \quad (18a)$$

$$N_i(t) = A(t) - K_i(t) C_i A(t) \quad (18b)$$

$$M_i(t) = I - K_i(t) C_i \quad (18c)$$

$$Q_i = -\beta_i C_i \quad (18d)$$

$$P_i = \beta_i I \quad (18e)$$

$$L_1(t) = \begin{pmatrix} -q/p & -r/p \\ 1 & 0 \\ 0 & 1 \end{pmatrix}, \quad L_2(t) = \begin{pmatrix} 1 & 0 \\ -p/q & -r/q \\ 0 & 1 \end{pmatrix}, \quad (19a)$$

$$L_3(t) = \begin{pmatrix} 1 & 0 \\ 0 & 1 \\ -p/r & -q/r \end{pmatrix} \quad (19b)$$

où γ_i et β_i des paramètres de synthèse
alors

Modèle du
quadrirotorPosition du
problèmeSynthèse de
l'observateur :
estimation de la
vitesse linéaireSimulations
numériques**Estimation
simultanée de la
vitesse et des
défauts de capteur**Simulations
numériques

Proposition 2 suite

- 1 Si $\vec{f}^j(t) \equiv 0$ ($Y^j(t)$ est sans défaut) l'erreur d'observation $e^j = x - \hat{x}^j$ est asymptotiquement stable et $\rho^j(t) \rightarrow 0$ et $\hat{f}_i(t) \rightarrow f_i(t)$ lorsque $t \rightarrow \infty$.
- 2 Si $\vec{f}^j(t) \neq 0$ i.e. $f_j(t) \neq 0$ pour $j \neq i$ et $f_j(t) \neq \dot{\sigma}_j$ avec σ solution de $\dot{\sigma}(t) = A(t)\sigma(t)$ alors $\rho^j(t) \neq 0$ et $\rho^j(t) \not\rightarrow 0$ (σ_j est la $j^{\text{ème}}$ composante de σ). ■

$$(\mathcal{O}_i) \begin{cases} \hat{\dot{x}}^i(t) &= N_i(t)\hat{x}^i(t) + M_i(t)b(t) + K_i(t)Y^i(t) \\ \rho^j(t) &= Q_j(t)\hat{\dot{x}}^i(t) + P_j(t)Y^j(t) \\ \hat{f}_i(t) &= \bar{Y}^j(t) - \bar{C}_i(t)\hat{x}^i(t) \end{cases}$$

Esquisse de démonstration

Soient $\epsilon^i = x - \hat{x}^i$ l'erreur d'estimation, $\epsilon_f^i(t) = f_i(t) - \hat{f}_i(t)$ l'erreur d'estimation des défauts, et $\rho^i(t)$ le $i^{\text{ème}}$ vecteur des résidus.

Equations modèle (16) et équations OGR (17) \Rightarrow

$$\begin{aligned} \dot{\epsilon}^i(t) &= N_i \epsilon^i(t) + (A - N_i - K_i C_i A) x(t) \\ &+ (I - M_i - K_i C_i) b(t) - (L_i + \gamma_i A^T C_i^T) \bar{f}^i(t) \end{aligned} \quad (20)$$

$$\rho^i(t) = P_i (C_i \epsilon^i(t) + \bar{f}^i(t)) \quad (21)$$

$$\epsilon_f^i(t) = -\bar{C}_i \epsilon^i(t) \quad (22)$$

Conditions de non biais

$$A - N_i - K_i C_i A = 0$$

$$I - M_i - K_i C_i = 0$$

sont satisfaites si les matrices $N_i(t)$, $M_i(t)$ et $K_i(t)$ sont choisies comme dans (18).

Modèle du quadricoptère

Position du problème

Synthèse de l'observateur : estimation de la vitesse linéaire

Simulations numériques

Estimation simultanée de la vitesse et des défauts de capteur

Simulations numériques

Modèle du quadricoptère

Position du problème

Synthèse de l'observateur : estimation de la vitesse linéaire

Simulations numériques

Estimation simultanée de la vitesse et des défauts de capteur

Simulations numériques

Esquisse de démonstration suite

Expression de $K_i(t) \implies$

$$N_i(t) = A(t) - L_i(t)C_iA(t) - \gamma_i A^T(t)C_i^T C_iA(t) \quad (23)$$

Choix de L_i comme dans (19) $\implies A(t) - L_i(t)C_iA(t) = 0 \implies$

Dynamique de l'erreur d'observation

$$\dot{\epsilon}^i(t) = -\gamma_i A^T(t)C_i^T C_iA(t)\epsilon^i(t) - \left(L_i + \gamma_i A^T C_i^T\right) \bar{f}^i(t) \quad (24)$$

Première étape

La démonstration se fait en deux étapes.

- Si $\bar{f}^i(t) \equiv 0$ alors l'erreur d'observation $\epsilon^i = x - \hat{x}^i$ est asymptotiquement stable, le $i^{\text{ème}}$ vecteur des résidus $\rho^i(t)$ et l'erreur d'estimation des défauts $\epsilon_f^i(t)$ convergent vers 0.

Considérons le cas $\vec{f}^j(t) \equiv 0 \implies$

Dynamique de l'erreur d'observation

$$\dot{\epsilon}^i(t) = -\gamma_i A^T(t) C_i^T C_i A(t) \epsilon^i(t) \quad (25)$$

Fonction de Lyapunov candidate

$$V(\epsilon^i) = \epsilon^{iT} \epsilon^i$$

Dérivée de V le long de la dynamique de l'erreur d'observation

$$\dot{V}(\epsilon^i) = -2\gamma_i \|C_i A \epsilon^i\|^2 \leq 0 \quad (26)$$

- ① Lemme de Barbalat $\implies \dot{V}(\epsilon^i) \rightarrow 0$ lorsque $t \rightarrow \infty$,
- ② Lemme de Barbalat $\implies \epsilon^i(t) \rightarrow 0$ lorsque $t \rightarrow \infty$.

Cas $\vec{f}^j(t) \equiv 0 \implies$ l'origine de l'erreur d'observation $\epsilon^i(t)$ est asymptotiquement stable.

Modèle du
quadrirotorPosition du
problèmeSynthèse de
l'observateur :
estimation de la
vitesse linéaireSimulations
numériques**Estimation
simultanée de la
vitesse et des
défauts de capteur**Simulations
numériques

Résidus et erreur d'estimation des défauts

$$\rho^j(t) = -\beta_i \gamma_i C_i A^T(t) C_i^T C_i A(t) \epsilon^j(t) \quad (27)$$

$$\epsilon_f^i(t) = \gamma_i \bar{C}_i A^T(t) C_i^T C_i A(t) \epsilon^j(t) \quad (28)$$

Relations (27) et (28) (cas $\bar{f}^j(t) \equiv 0$),

- $\epsilon^j \rightarrow 0 \implies \epsilon_f^i \rightarrow 0$
- $\epsilon^j \rightarrow 0 \implies \rho^j \rightarrow 0$

Cas $\vec{f}^j(t) \neq 0$: défauts de capteurs f_{pk} non détectable ?

Considérons le cas $\vec{f}^j(t) \neq 0$ i.e. au moins un défaut $f_j \neq 0$ pour $j \neq i$

→

Résidus

$$\rho^j(t) = S_i(t)\epsilon^j(t) + T_i(t)\vec{f}^j(t) \quad (29)$$

avec

$$S_i = -\gamma_i \beta_i C_i A^T(t) C_i^T C_i A(t)$$

$$T_i = -\beta_i C_i (L_i + \gamma_i A^T(t) C_i^T) + \beta_i I = -\beta_i \gamma_i C_i A^T(t) C_i^T$$

Existe-il ($\vec{f}_p^j(t) \neq 0, \epsilon_p^j(t)$) tel que le résidu $\rho^j(t)$ soit nul

$$\rho^j(t) = S_i(t)\epsilon_p^j(t) + T_i(t)\vec{f}_p^j(t) = 0?$$

$$\implies \vec{f}_p^j(t) = -T_i^{-1}(t)S_i(t)\epsilon_p^j(t) \quad (30)$$

Cas $\bar{f}^i(t) \neq 0$: défauts de capteurs f_{pk} non détectable ?

Modèle du quadricoptère

Position du problème

Synthèse de l'observateur : estimation de la vitesse linéaire

Simulations numériques

Estimation simultanée de la vitesse et des défauts de capteur

Simulations numériques

 \Rightarrow

$$\dot{\epsilon}_\rho^i(t) = A(t)\epsilon_\rho^i(t) \quad (31)$$

 \Rightarrow les défauts de capteurs non détectables f_{pk} vérifient

$$f_{pk} = \dot{\sigma}_k$$

où σ est solution de (31) et σ_k est la $k^{\text{ème}}$ composante de σ .

Remarque

Plus précisément, s'il existe $f_j(t) \neq 0$ pour $j \neq i$ et $f_j(t) \neq \dot{\sigma}_j$ avec σ solution de $\dot{\sigma}(t) = A(t)\sigma(t)$ alors $\rho^i(t) = 0$ sinon $\rho^i(t) \neq 0$ et $\rho^i(t) \neq 0$.

Cas $\bar{f}^i(t) \neq 0$: défauts de capteurs f_{pk} non détectable ?

Modèle du quadricoptère

Position du problème

Synthèse de l'observateur : estimation de la vitesse linéaire

Simulations numériques

Estimation simultanée de la vitesse et des défauts de capteur

Simulations numériques

Remark

La possibilité que la trajectoire d'un défaut de capteur vérifie $f_{pk} = \dot{\sigma}_k$ avec σ solution de $\dot{\sigma}(t) = A(t)\sigma(t)$ est très faible. Nous pouvons donc détecter, isoler et estimer la plupart des défauts.

Remark

Dans le cas d'un défaut sur un seul capteur f_i , l'observateur (\mathcal{O}_i) fournit une estimation de la vitesse et du défaut et le vecteur des résidus ρ^i converge vers 0. De plus, les autres résidus sont différents de zéro.

Remark

Dans le cas où deux ou trois capteurs sont défectueux, nous pouvons seulement détecter la présence de défauts car tous les résidus sont non nuls et ne convergent pas vers zéro (sauf si les défauts disparaissent).

Modèle du
quadrirotor

Position du
problème

Synthèse de
l'observateur :
estimation de la
vitesse linéaire

Simulations
numériques

Estimation
simultanée de la
vitesse et des
défauts de capteur

**Simulations
numériques**

Paramètres du quadrirotor (Benzemrane, Santossuosso, Damm, ACC07) :

- $m = 2.5 \text{ kg}$,
- $I_{xx} = 224931 \cdot 10^{-7} \text{ kg.m}^2$,
- $I_{yy} = 222611 \cdot 10^{-7} \text{ kg.m}^2$
- et $I_{zz} = 325130 \cdot 10^{-7} \text{ kg.m}^2$.

Les défauts de capteurs sont

- $f_1(t) \equiv 0$,
- $f_2(t) \equiv 0$,
- et $f_3(t) = \mathcal{H}(t - 2.5) (0.6 + \sin(20\pi t + 1))$ où $\mathcal{H}(\cdot)$ est la fonction de Heaviside.

Les figures suivantes représentent les erreurs d'estimation pour les OGR \mathcal{O}_2 et \mathcal{O}_3 , les résidus $\rho^2(t)$ et $\rho^3(t)$, le défaut $f_3(t)$ et son estimation $\hat{f}_3(t)$.

Modèle du
quadrirotor

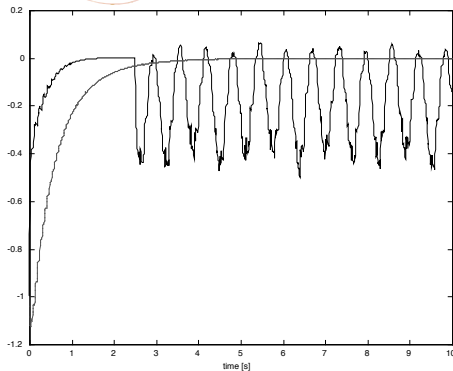
Position du
problème

Synthèse de
l'observateur :
estimation de la
vitesse linéaire

Simulations
numériques

Estimation
simultanée de la
vitesse et des
défauts de capteur

**Simulations
numériques**



- $\varepsilon_1^2(t) \not\rightarrow 0$ (\mathcal{O}_2) sensible au défaut $f_3(t)$
- $\varepsilon_1^3(t) \rightarrow 0$ (\mathcal{O}_3)

Modèle du
quadrirotor

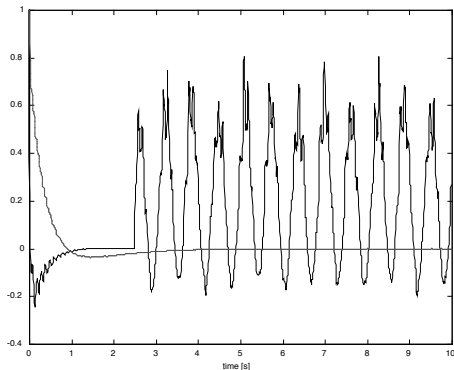
Position du
problème

Synthèse de
l'observateur :
estimation de la
vitesse linéaire

Simulations
numériques

Estimation
simultanée de la
vitesse et des
défauts de capteur

**Simulations
numériques**



- $\varepsilon_2^2(t) \not\rightarrow 0$ (\mathcal{O}_2) sensible au défaut $f_3(t)$
- $\varepsilon_2^3(t) \rightarrow 0$ (\mathcal{O}_3)

Modèle du
quadrirotor

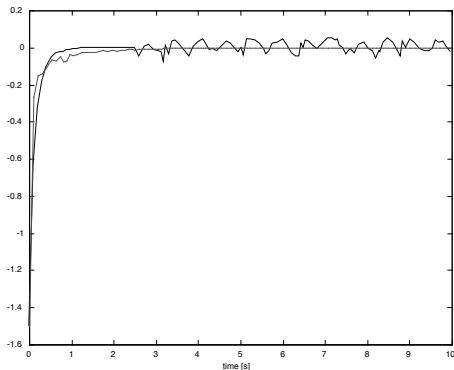
Position du
problème

Synthèse de
l'observateur :
estimation de la
vitesse linéaire

Simulations
numériques

Estimation
simultanée de la
vitesse et des
défauts de capteur

**Simulations
numériques**



- $\varepsilon_3^2(t) \not\rightarrow 0$ (\mathcal{O}_2) sensible au défaut $f_3(t)$
- $\varepsilon_3^3(t) \rightarrow 0$ (\mathcal{O}_3)

Modèle du
quadrirotor

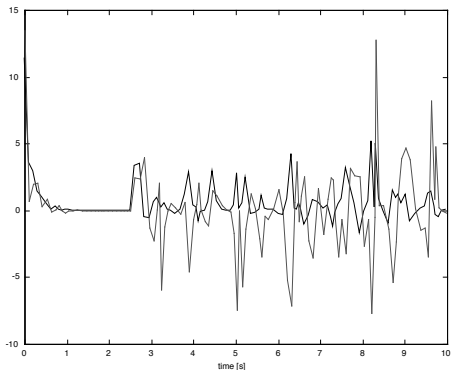
Position du
problème

Synthèse de
l'observateur :
estimation de la
vitesse linéaire

Simulations
numériques

Estimation
simultanée de la
vitesse et des
défauts de capteur

**Simulations
numériques**



- $\rho^2(t) \not\rightarrow 0$ sensible au défaut $f_3(t)$

Modèle du
quadrirotor

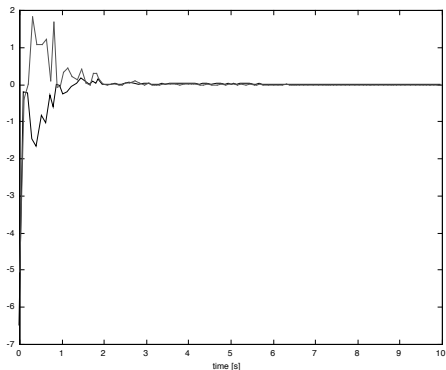
Position du
problème

Synthèse de
l'observateur :
estimation de la
vitesse linéaire

Simulations
numériques

Estimation
simultanée de la
vitesse et des
défauts de capteur

**Simulations
numériques**



- $\rho^3(t) \rightarrow 0 \implies$ insensible au défaut $f_3(t)$

Modèle du
quadrirotor

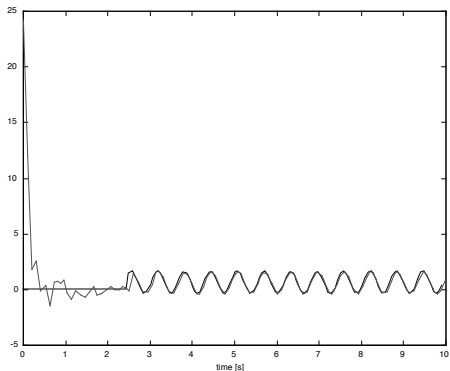
Position du
problème

Synthèse de
l'observateur :
estimation de la
vitesse linéaire

Simulations
numériques

Estimation
simultanée de la
vitesse et des
défauts de capteur

**Simulations
numériques**



L'estimation du défaut de capteur

$f_3(t) = \mathcal{H}(t - 2.5) (0.6 + \sin(20\pi t + 1))$ est satisfaisante

Modèle du
quadrirotor

Position du
problème

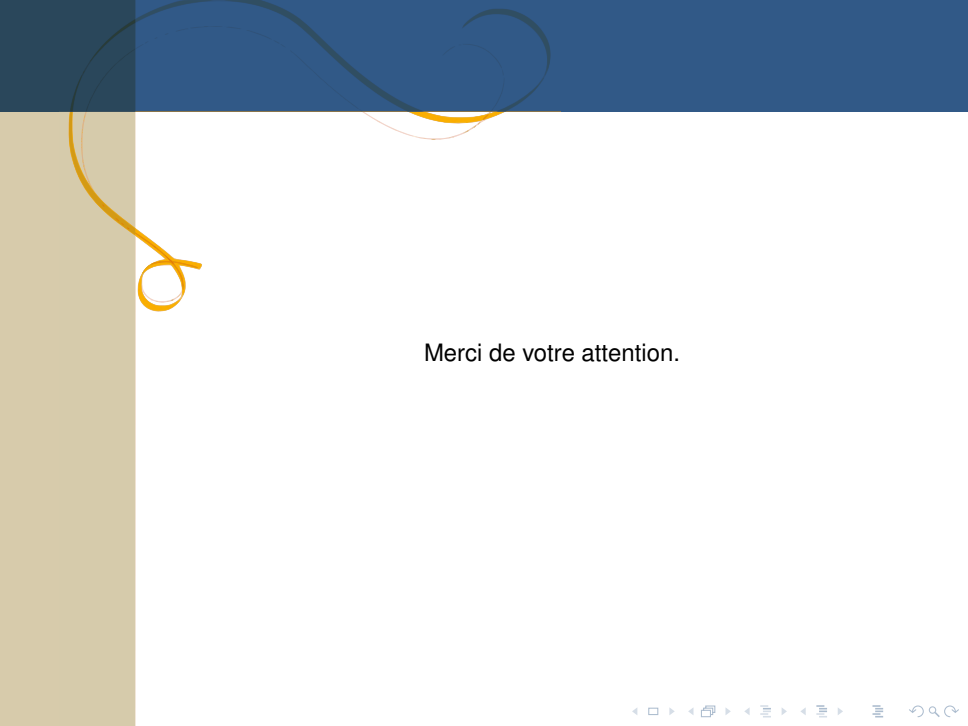
Synthèse de
l'observateur :
estimation de la
vitesse linéaire

Simulations
numériques

Estimation
simultanée de la
vitesse et des
défauts de capteur

**Simulations
numériques**

- les résidus $\rho^3(t)$ donnés par \mathcal{O}_3 convergent vers zéro $\iff f_1(t) \equiv 0$ et $f_2(t) \equiv 0$,
- \implies les erreurs d'estimation (vitesse et défaut) fournies par le OGR \mathcal{O}_3 sont asymptotiquement stables,
- Les résidus $\rho^2(t)$ donnés par \mathcal{O}_2 sont sensibles au défaut $f_3(t)$,
- Les erreurs d'estimation données par \mathcal{O}_2 ne sont pas asymptotiquement stables,
- la reconstruction du défaut de capteur est satisfaisante.



Merci de votre attention.

Modèle du
quadrirotor

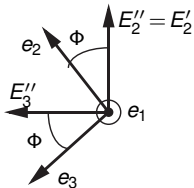
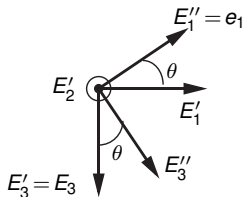
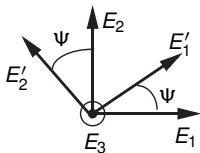
Position du
problème

Synthèse de
l'observateur :
estimation de la
vitesse linéaire

Simulations
numériques

Estimation
simultanée de la
vitesse et des
défauts de capteur

**Simulations
numériques**



Modèle du quadricoptère

Position du problème

Synthèse de l'observateur : estimation de la vitesse linéaire

Simulations numériques

Estimation simultanée de la vitesse et des défauts de capteur

Simulations numériques



D. B. Lee, T. C. Burg, B. Xian and D. M. Dawson, "Output feedback tracking control of an underactuated quad-rotor UAV", *American Control Conference*, New York, 2007.



T. Madani and A. Benallegue, "Sliding mode observer and backstepping control for a quadrotor unmanned aerial vehicles", *American Control Conference*, New York, 2007.



A. Benallegue, A. Mokhtari and L. Fridman, "High-order sliding-mode observer for a quadrotor UAV", *Int. J. of Robust and Nonlinear Control*, 2008.



F. LeBras, T. Hamel and R. Mahony, "Nonlinear observer-based visual control of a VTOL UAV", *European Control Conference*, Kos, Greece, 2007.



R. Sharma and M. Aldeen, "Fault and unknown input reconstruction in VTOL aircraft system using sliding mode observer", *European Control Conference*, Kos, Greece, 2007.



F. Bateman, H. Noura and M. Ouladsine, "An actuator fault detection, isolation and estimation system for an UAV using input observers", *European Control Conference*, Kos, Greece, 2007.



N. Slegers and M. Costello, "Variable structure observer for control bias on unmanned air vehicles", *J. of Guidance, Cont., and Dynamics*, vol. 30, pp 281–286, 2007.



C. G. Prevost, A. Desbiens and E. Gagnon, "Extended Kalman filter for state estimation and trajectory prediction of a moving object detected by an unmanned aerial vehicle", *American Control Conference*, New York, 2007.



K. Benzemrane, G. L. Santosuosso and G. Damm, "Unmanned aerial vehicle speed estimation via nonlinear adaptive observers", *American Control Conference*, New York, 2007.



L. Besnard, Y.B. Shtessel and B. Landrum, "Control of a quadrotor vehicle using sliding mode disturbance observer", *American Control Conference*, New York, 2007.



D. Blake and M. Brown, "Simultaneous, multiplicative actuator and sensor fault estimation", *European Control Conference*, Kos, Greece, 2007.



M. Boutayeb, E. Richard, H. Rafaralahy, H. Souley Ali and G. Zaloylo, "A simple time-varying observer for speed estimation of UAV", *IFAC World Congress*, Seoul, Korea, 2008.



P. Castillo, R. Lozano and A. Dzul, *Modelling and control of mini-flying machines*, Springer-Verlag, 2005.



J. C. Deckert, M. N. Desai, J. J. Deyst and A. S. Willsky, "F-8 DFBW sensor failure identification using analytic redundancy", *IEEE Trans. Aut. Cont.*, Vol. 22, 5, 1977.



D. Lara Alabazares, *Modélisation et commande robuste des drones miniatures : conception de l'architecture embarquée*, PhD thesis, UTC, Compiègne, France, 2007.



A. Monteriu, P. Asthana, K. Valavanis and S. Longhi, "Residual generation approaches in navigation sensors fault detection applications", *European Control Conference*, Kos, Greece, 2007.



H. Nijmeijer, A. J. van der Schaft, *nonlinear dynamical control systems*, Springer-Verlag, 1990.



N. P. Piercy, "Sensor failure estimators for detection filters", *IEEE Trans. Aut. Cont.*, Vol. 37, 10, 1992.



H. Rafaralahy, M. Zasadzinski and M. Boutayeb, "Discussion on sensor gain fault diagnosis for a class of nonlinear systems", *European Journal of Control*, Vol. 12, 5, 2006.

Modèle du
quadrirotor

Position du
problème

Synthèse de
l'observateur :
estimation de la
vitesse linéaire

Simulations
numériques

Estimation
simultanée de la
vitesse et des
défauts de capteur

**Simulations
numériques**



H. Rafaralahy, M. Zasadzinski, M. Boutayeb and H. Souley Ali, "Sensor bias estimation for bilinear systems", *Conference on Systems and Control*, Marrakesh, Morocco, 2007.



Y. Wang and D.H. Zhou, "Sensor gain fault diagnosis for a class of nonlinear systems", *European Journal of Control*, Vol. 12, 5, pp. 523-535, 2006.



H. Rafaralahy, E. Richard, M. Boutayeb and M. Zasadzinski, "Simultaneous observer based diagnosis and speed estimation of Unmanned Aerial Vehicle", *Conference on Decision and Control*, Cancun, Mexico, 2008.



E. Richard, M. Boutayeb, H. Rafaralahy and M. Zasadzinski, "Design of speed and sensor bias estimator for Unmanned Aerial Vehicle", *European Control Conference*, Budapest, Hungary, 2009.